

## ДИФФУЗИЯ РАДИАЦИОННЫХ ДЕФЕКТОВ ИЗ ОБЛАСТИ УПРУГОГО ТОРМОЖЕНИЯ ИОНОВ ФОСФОРА В КРЕМНИИ

Колодин Л. Г., Мукашев Б. Н., Смирнов В. В., Чихрай Е. В.

Определены энергетические уровни и термическая устойчивость радиационных дефектов, возникающих за границей  $n-p$ -переходов, полученных имплантацией ионов фосфора в кремний  $p$ -типа. Предполагалось, что наблюдаемые на глубинах  $\sim 870$  нм дефекты являются комплексами вакансий с атомами кислорода. Образование таких центров возможно вследствие диффузии вакансий из зоны генерации дефектов (20–25 нм) в объем материала с последующим захватом их атомами кислорода. Проведена оценка диффузионной длины вакансии  $L \simeq 0.01$  мкм.

Известно, что вследствие имплантации ионов происходит изменение различных свойств полупроводников на глубинах  $\sim 10^3$ – $10^4$  нм от облученной поверхности [1–3]. Однако до настоящего времени практически отсутствуют экспериментальные данные о свойствах дефектов, ответственных за изменения параметров кристаллов на больших глубинах. Целью настоящей работы является определение положения энергетических уровней, термической устойчивости и природы радиационных дефектов, возникающих за границей кремниевых  $n-p$ -переходов, полученных внедрением ионов фосфора. Измерения проводились методом нестационарной емкостной спектроскопии глубоких уровней (НЕСГУ), позволяющим получать информацию о свойствах дефектов с глубиной  $\geq 10$  нм от границы переходов [4].

Исходные образцы кремния, выращенного в кварцевых тиглях ( $\rho \sim 5$  Ом·см), облучались ионами фосфора с энергией 5 или 40 кэВ интенсивностью 0.1 мА/см<sup>2</sup> и дозой до  $10^{14}$  см<sup>-2</sup> при 300 К. После облучения образцы выдерживались при 300 °C в течение 15 мин. Глубина залегания перехода определялась из измерений поверхностной концентрации носителей и удельного сопротивления в сочетании с послойным удалением ионно-легированного слоя. Толщина стравливаемого окисла контролировалась по данным эллипсометрии. Для энергий внедренных ионов 5 и 40 кэВ глубины залеганий переходов оказались равными  $20 \pm 5$  и  $70 \pm 10$  нм соответственно. Для определения профиля дефектов производилась запись спектров НЕСГУ при различных величинах напряжения обратного смещения  $U_{\text{om}}$ . Времена считывающих стробоскопических импульсов, отсчитываемых от заднего фронта инжектирующего импульса, при определении профиля дефектов удовлетворяли соотношению  $t_2/t_1 = 3$  [5], причем  $t_2 = 1.64 \cdot 10^{-3}$  с. Следует отметить, что удаление слоя толщиной 150 нм для образцов, облученных ионами с энергией 5 кэВ, и запись спектров с использованием барьера Шоттки приводили к наблюдению уровней радиационных дефектов, которые были обнаружены в кристаллах с  $n-p$ -переходами.

На рис. 1 представлены данные по изохронному отжигу дефектов (центры захвата основных носителей — дырок) и спектры, записанные после выдержки кристаллов при температурах 320 и 400 °C. Указанные на рис. 1 концентрации соответствуют толщине обедненного слоя 860 нм и являются усредненными по этому слою. Значение толщины обедненного слоя определялось из вольтфарадных характеристик  $n-p$ -перехода. После отжига при 320 °C наблюдаются дефекты с уровнями  $H1$  ( $E_v + 0.18$  эВ),  $H2$  ( $E_v + 0.25$  эВ) и  $H3$  ( $E_v + 0.36$  эВ) (точ-

ность в определении уровней  $\pm 0.01$  эВ). При температурах  $\geq 350$  °С одновременно с исчезновением  $H_3$  наблюдается некоторое увеличение концентрации центров  $H_1$  и  $H_2$ , а также появляются центры  $H_4$  ( $E_c + 0.30$  эВ) и  $H_5$  ( $E_c + 0.40$  эВ). Полный отжиг дефектов происходит при  $T_{\text{отж}} \geq 500$  °С. В образцах, полученных внедрением ионов с энергией 40 кэВ, наблюдаются такие же

центры, но эффективность их введения приблизительно в 5 раз выше.

Сравнение зависимости концентрации наблюдавшихся дефектов от температуры отжига с данными работ [6, 7] позволяет предположить, что эти центры представляют собой комплексы вакансий с атомами кислорода, а доминирующий после облучения дефект  $H_3$  может быть идентифицирован как комплекс дивакансия — атом кислорода. Для определения областей локализации внед-

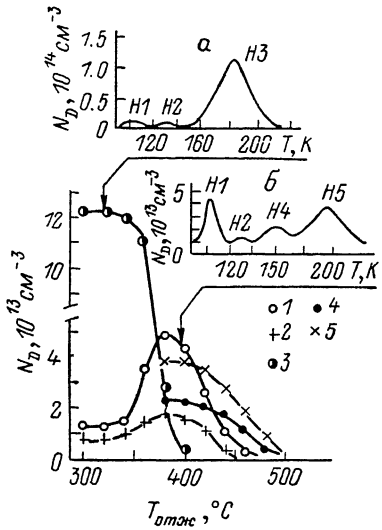


Рис. 1. Изохронный отжиг ( $t=15$  мин) радиационных дефектов в кремнии  $p$ -типа, облученном ионами фосфора с энергией 5 кэВ, дозой  $10^{14} \text{ см}^{-2}$ .

*a, б* — спектры глубоких уровней дефектов после отжига образцов при 320 (а) и 400 °С (б),  $U_{\text{см}}=5$  В. 1 —  $H_1$ , 2 —  $H_2$ , 3 —  $H_3$ , 4 —  $H_4$ , 5 —  $H_5$ .

ренного фосфора и генерации дефектов изучались профили распределения атомов фосфора и радиационных нарушений для случая внедрения ионов с энергией 5 кэВ и дозой  $10^{14} \text{ см}^{-2}$  (рис. 2). Распределение атомов фосфора изменилось путем непрерывной регистрации соответствующего оже-пика в ходе распыления поверхности кремния пучком ионов аргона, а распределение радиационных нарушений получено из измерений показателя преломления кремния методом эллипсометрии в сочетании с послойным стравливанием. На рис. 2

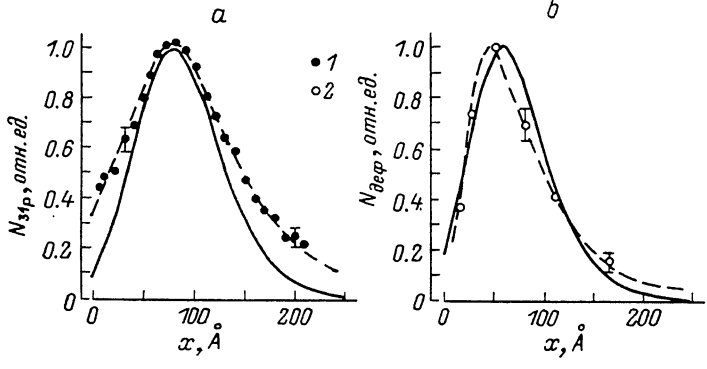


Рис. 2. Профили распределений атомов фосфора (а) и радиационных нарушений (б).

1 — данные оже-спектроскопии, 2 — данные эллипсометрии; сплошная кривая — расчет для случая внедрения  $^{31}\text{P}$  с энергией 5 кэВ в аморфный кремний.

приведены теоретические и экспериментальные кривые распределений. Методика обработки экспериментальных данных подробно изложена в работе [8]. Полученные значения модального максимума  $R_{\text{мод}}$  (расстояние от поверхности до максимума распределения), а также первых трех моментов распределения — среднепроекционного пробега  $R_p$ , продольного страглинга  $\Delta R_p$  и склонности  $S_k$ -момента, учитывающего асимметрию распределения, оказались равными: а) для профиля атомов фосфора  $R_{\text{мод}}=7.6$  нм,  $R_p=9.4$  нм,  $\Delta R_p=8.3$  нм,  $S_k=-1.37$ ; б) для профиля дефектов  $R_{\text{мод}}=4.8$  нм,  $R_p=7.5$  нм,  $\Delta R_p=3.7$  нм,  $S_k=0.71$ .

Из результатов, представленных на рис. 2, видно, что внедренные атомы фосфора и связанные с ними радиационные нарушения в основном локализованы

в приповерхностном слое толщиной  $20 \div 25$  нм, что достаточно хорошо соответствует глубине залегания  $n-p$ -перехода.

Профиль распределения дефекта с уровнем  $H_3$ , полученный из измерений спектров методом НЕСГУ, приведен на рис. 3. Образование наблюдаемых вакансионных комплексов на глубинах до 870 нм возможно вследствие диффузии вакансий из зоны торможения ионов в объем кристалла и их захвата атомами кислорода, растворенными в кремнике. В работе [8] было получено выражение

для установившегося профиля распределения, не зависящее от времени, для случая диффузии из тонкого приповерхностного слоя с учетом скорости распыления материала мишени  $v$

$$C(x) = C_s \exp\{-vL/D_0 [\exp(x/L) - 1]\}, \quad (1)$$

здесь  $C(x)$  — концентрация примеси (в нашем случае — концентрация дефектов  $H_3$ ) на глубине  $x$ ,  $L$  — диффузионная длина вакансий,  $D_0$  — коэффициент

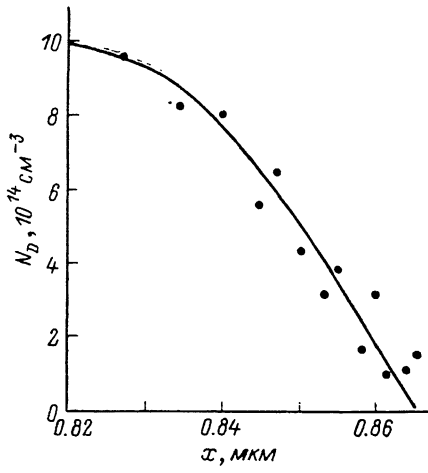


Рис. 3. Профиль распределения дефекта с уровнем  $H_3$  в кремнике  $p$ -типа, облученном ионами фосфора с энергией 40 кэВ, дозой  $10^{14} \text{ см}^{-2}$ , полученный по данным НЕСГУ,  $U_{\max}=8$  В.

диффузии у поверхности,  $C_s$  — концентрация примеси на поверхности. Диффузионная длина вакансии, определенная графически по наклону прямой

$$\ln |d \ln C(x)/dx| = \ln(v/D_0) + (x/L), \quad (2)$$

уравнение которой получено из (1), оказалось равной  $L=0.01$  мкм. В рамках упрощенной модели [9] найденная величина  $L$  находится в хорошем соответствии с данными работы [10].

#### Л и т е р а т у р а

- [1] Успенская Г. И., Абрашова Н. Н., Тетельбаум Д. И., Зорин Е. И., Павлов П. В. — В кн.: Физические основы ионно-лучевого легирования. Горький, 1972, с. 96—99.
- [2] Bertolotti M., Sette D., Stagni L., Vitali G. — Rad. Eff., 1977, v. 15, N 1, p. 31—37.
- [3] Аброян И. А., Дубро В. В., Ильин И. А., Привалова Е. А., Титов А. И. — Электрон. техн., 1981, сер. 2, № 4, с. 36—40.
- [4] Kimerling L. C. — J. Appl. Phys., 1974, v. 45, N 4, p. 1839—1845.
- [5] Колодин Л. Г., Кондратенко Г. А., Мукашев Б. Н., Смирнов В. В., Чихрай Е. В. — ПТЭ, 1985, № 4, с. 246.
- [6] Lee J. H., Corbett J. W. — Phys. Rev. B, 1976, v. 13, N 6, p. 2653—2666.
- [7] Козлов И. Н., Литвинко А. Г., Лугаков П. Ф., Мишук С. В., Ткачев В. Д. — ФТП, 1973, т. 6, в. 10, с. 2048—2050.
- [8] Мукашев Б. Н., Чокин К. Ш., Кусаинов Ж. А., Нусупов К. Х., Токмолдин С. Ж. — Поверхность, Физика, химия, механика, 1983, № 11, с. 131—137.
- [9] Strack H. — J. Appl. Phys., 1963, v. 34, N 8, p. 2405—2409.
- [10] Maby E. W. — J. Appl. Phys., 1976, v. 47, N 3, p. 830—837.

Институт физики высоких энергий  
АН КазССР  
Алма-Ата

Получена 5.07.1985  
Принята к печати 14.10.1987